

mahdifar\_a@sci.sku.ac.ir :

(دریافت مقاله: ۱۳۹۱/۵/۱۶؛ دریافت نسخه نهایی: ۱۳۹۱/۱۱/۱۱)

نمونه، در تعمیم‌های جبری، عملگرهای نرده‌بانی بوزونی

استاندارد  $\hat{a}$  و  $\hat{a}^\dagger$  با شکل عام از این عملگرهای جایگزین می‌شوند. این عملگرهای در واقع ترکیبی از عملگرهای استاندارد و توابعی از برخی از ثابت‌های حرکت سامانه هستند. این فرآیند منجر به گذار از سامانه خطی به سامانه غیر خطی می‌شود.

از جمله تعمیم‌های جبری حالت‌های همدوس، حالت‌های همدوس غیرخطی هستند. برای رسیدن به این حالت‌ها عملگرهای جبر نوسانگر، به صورت تغییر شکل یافته زیر در نظر گرفته می‌شوند [۵]،

$$\hat{A} = \hat{a} f(\hat{n}) = f(\hat{n}+1) \hat{a},$$

$$\hat{A}^\dagger = f^\dagger(\hat{n}) \hat{a}^\dagger = \hat{a}^\dagger f^\dagger(\hat{n}+1),$$

حالت‌های همدوس غیرخطی به صورت ویژه حالت‌های عملگر نابودی تغییر شکل یافته بالا تعریف می‌شوند.

## ۱. مقدمه

حالات‌های همدوس نخستین بار توسط شروینگر برای توصیف بسته موج پخش ناپذیر نوسانگرهای هماهنگ معرفی شد [۱]. این حالت‌ها که از برهم‌نهی حالت‌های عددی به دست می‌آیند، ویژه حالت عملگر نابودی نوسانگر هماهنگ هستند. حالات‌های مذبور دارای ویژگی‌های متمایزی نسبت به دیگر حالت‌ها، و به خصوص خود حالت‌های عددی، هستند. این برهم‌نهی از حالت‌های عددی دارای عدم قطعیت کمینه بوده و همچنین توزیع آمار شمارش فوتون‌های آنها از نوع پواسونی است که کاملاً با حالت‌های عددی متفاوت است [۲].

حالات‌های همدوس نوسانگر هماهنگ به روش‌های گوناگونی تعمیم یافته‌اند، که گام‌های مهمی در جهت گسترش این نظریه هستند. از جمله این تعمیم‌ها می‌توان به تعمیم‌های دینامیکی [۳]، تقارنی [۴] و جبری [۵] اشاره نمود. به عنوان

که این حالت‌ها به ترتیب نمونه‌های متقارن و پادمتقارن از برهم‌نهی هستند [۱۵].

در مرجع [۸]، برای مطالعه اثر خمیدگی فضای فیزیکی بر ویژگی‌های حالت‌های همدوس، ساختار جبری یک نوسانگر هماهنگ دو بعدی روی سطح یک کره بررسی شده است. نشان داده شده است که نوسانگر دو بعدی را می‌توان به عنوان یک نوسانگر یک بعدی با جبر تغییر شکل یافته توصیف کرد. علاوه بر این، مشخص شده است که جبر نوسانگر روی کره نیز یک جبر نوسانگر تغییر شکل یافته نسبت به جبر آن در فضای تخت است. سرانجام حالت‌های همدوس روی سطح کره نیز به دست آورده شده است. در مرجع [۱۶] نیز با ارائه طرحواره‌ای فیزیکی برای تولید حالت‌های همدوس غیرخطی حرکت ارتعاشی مرکز جرم اتم به دام افتاده، شیوه‌ای برای آشکارسازی خمیدگی فضای فیزیکی معرفی شده است. همچنین نشان داده شده است که با تغییر بسامد رابی لیزرهای تاییده شده می‌توان حالت‌های همدوس بر روی کره‌های با خمیدگی‌های مختلف را تولید کرد. لذا می‌توان خمیدگی فضای فیزیکی را با تنظیم پارامترهای مربوط به سامانه اتم به دام افتاده کنترل کرد.

در این مقاله به منظور بررسی اثرات غیرکلاسیکی برهم‌نهی، با استفاده از حالت‌های همدوس غیرخطی روی سطح کره، برهم‌نهی حالت‌های مذبور را معرفی می‌کنیم. سپس خواص اپتیک کوانتومی حالت‌های برهم‌نهی شده جدید را بررسی و با خواص متناظر حالت‌های همدوس اولیه مقایسه خواهیم کرد. به طور مشخص، برای برهم‌نهی حالت‌های همدوس روی سطح کره، توزیع شمارش فوتونی، پارامتر مندل، درجه همدوسی، چلاندگی کودراتوری و تابع ویگنر را محاسبه کرده و اثر خمیدگی فضا بر ویژگی‌های مذبور را به دست می‌آوریم. سرانجام، با استفاده از سامانه یون به دام افتاده، طرحواره‌ای فیزیکی برای تولید برهم‌نهی حالت‌های همدوس بر سطح کره ارائه خواهیم کرد.

حالات‌های همدوس استاندارد به روش‌های گوناگونی تعمیم یافته‌اند [۵]. حالات‌های همدوس غیرخطی یا حالت‌های همدوس

حالات‌های همدوس غیرخطی به دلیل خواص غیرکلاسیکی مورد توجه قرار گرفته‌اند، به طوری که بسیاری از حالت‌های اپتیک کوانتومی از قبیل حالت‌های همدوس با تغییر شکل<sup>۱</sup>،<sup>۲</sup> حالت‌های فوتون افروده<sup>۳</sup>، حرکت مرکز جرم یک یون به دام افتاده و همچنین برخی از حالت‌های همدوس تعمیم یافته [۶] را می‌توان از دسته حالت‌های همدوس غیرخطی دانست. همچنین اثرات محصورسازی فضایی و انحنای فیزیکی بر ساختار جبری حالت‌های همدوس نوسانگر هماهنگ در چارچوب حالت‌های همدوس غیرخطی بررسی شده است [۸,۷].

برهم‌نهی حالت‌های همدوس استاندارد و تعمیم‌های آن و به خصوص اثرات تداخلی آنها یکی از خصوصیات بارز مکانیک کوانتومی است که آنها را از حالت‌های کلاسیک متمایز می‌کنند. در فیزیک کلاسیک، برهم‌نهی حالت‌های ممکن یک سامانه وجود خارجی ندارد به طوری که به عنوان مثال، برهم‌نهی یک گربه زنده و مرده قابل مشاهده نیست. در واقع می‌توان نشان داد که در حد کلاسیک، ماتریس چگالی مربوط به برهم‌نهی حالت‌ها، در زمان‌های واهمدوسی<sup>۳</sup> بسیار کوتاهی، به شکل قطری در می‌آید که این نیز به معنای حذف اثرات کوانتومی خواهد بود [۹]. بدین صورت، برهم‌نهی حالت‌های کوانتومی و ویژگی‌های غیرکلاسیکی آنها در سال‌های اخیر موضوع پژوهش‌های بسیاری قرار گرفته است [۱۰]. در دهه‌های اخیر نیز کارهای متنوعی در زمینه برهم‌نهی حالت‌های همدوس انجام شده است که به طور معمول، به دست آوردن حالت‌هایی با خواص غیرکلاسیکی انگیزه انجام چنین تحقیقاتی است. برهم‌نهی حالت‌های همدوس سبب پدید آمدن خصوصیات غیرکلاسیکی متعددی می‌شوند که این ویژگی‌ها کاربردهای متنوعی در فیزیک کوانتومی از قبیل نظریه اطلاعات کوانتومی [۱۱]، دوربری کوانتومی [۱۲]، کدگذاری [۱۳] و رمزگاری [۱۴] کوانتومی پیدا کرده‌اند. از جمله برهم‌نهی‌های حالت‌های همدوس می‌توان به حالت‌های همدوس زوج و فرد اشاره نمود.

۱. q-deformed

۲. Photon-added

۳. Decoherence

در نظر گرفت که در اینجا  $N$  بعد فضای فوک متناهی البعد مریبوط به جبر نوسانگر هماهنگ روی سطح کره است. با توجه به محدود بودن تعداد حالت‌های عددی در فضای هیلبرت با بعد متناهی، حالت‌های همدوس با بعد متناهی را می‌توانیم از قطع کردن حالت‌های همدوس استاندارد در فضای هیلبرت با بعد نامتناهی به دست آورد [۱۷]. بر این اساس حالت‌های همدوس غیرخطی متناهی متناظر با نوسانگر هماهنگ دو بعدی روی سطح کره به دست می‌آید،

$$|z\rangle_s = F^{\frac{-1}{2}} \sum_{n=0}^N \sqrt{\binom{N}{n}} [g(\lambda, n)]! z^n |n\rangle, \quad (4)$$

$$F = \sum_{n=0}^N \binom{N}{n} \{[g(\lambda, n)]!\}^2 |z|^{2n}.$$

که در آن  $F$  ضریب بهنجارش است. آشکار است که حالت‌های همدوس  $|z\rangle_s$  را می‌توان به عنوان خانواده‌ای از حالت‌های همدوس غیرخطی متناظر با فضای خمیده (کره) به شمار آورد.

برهم‌نهی حالت‌های همدوس غیرخطی روی سطح کره را به صورت زیر تعریف می‌کنیم،

$$|\phi\rangle_a = B \left[ |z\rangle_s + a | -z\rangle_s \right]. \quad (5)$$

در رابطه بالا، ثابت بهنجارش  $B$  به صورت زیر تعریف می‌شود،

$$B = \left[ 1 + a^2 + 2 \frac{N}{F} a \right]^{\frac{-1}{2}}, \quad (6)$$

که در آن داریم

$$N = \sum_{n=0}^N (-1)^n \binom{N}{n} \{[g(\lambda, n)]!\}^2 |z|^{2n}. \quad (7)$$

پارامتر  $a$  در حالت کلی یک عدد مختلط است که به ازای  $a = 1$ ، حالت  $|\phi\rangle_a$  نشانگر یک گربه شروдинگر<sup>۴</sup> زوج و به ازای  $a = -1$ ، نشانگر یک گربه شروдинگر فرد<sup>۵</sup> است. در حالت خاص  $a = 0$  نیز حالت برهم‌نهی (5) به حالت همدوس

تغییر شکل یافته  $f^1$ ، از جمله تعمیم‌های جبری این حالت‌ها هستند. در این روش عملگرهای خلق و نابودی جبر ویل-هایزنبرگ<sup>۶</sup> با شکل تغییر یافته آنها به صورت زیر جایگزین می‌گردد،

$$\hat{A} = \hat{a} f(\hat{n}) = f(\hat{n}+1) \hat{a}, \quad (1)$$

$$\hat{A}^\dagger = f^\dagger(\hat{n}) \hat{a}^\dagger = \hat{a}^\dagger f^\dagger(\hat{n}+1).$$

در اینجا  $\hat{n}$  عملگر عددی بوده و  $f(\hat{n})$  یکتابع عملگر مقدار است. به طور معمول تابع  $f(\hat{n})$  به پارامتری بستگی دارد که به ازای مقادیر خاص این پارامتر، عملگرهای تغییر شکل یافته  $\hat{A}$  و  $\hat{A}^\dagger$  به  $\hat{a}$  و  $\hat{a}^\dagger$  تبدیل می‌شوند. جابه‌جایگر  $\hat{A}$  و  $\hat{A}^\dagger$  نیز به صورت زیر محاسبه می‌شود:

$$[\hat{A}, \hat{A}^\dagger] = (\hat{n}+1) f(\hat{n}+1) f^\dagger(\hat{n}+1) - \hat{n} f(\hat{n}) f^\dagger(\hat{n}),$$

$$[\hat{A}, \hat{n}] = \hat{A},$$

$$[\hat{A}^\dagger, \hat{n}] = -\hat{A}^\dagger,$$

(2)

حالت‌های همدوس غیرخطی در واقع ویژه حالت‌های عملگر تغییر شکل یافته  $\hat{A}$  هستند.

در مرجع [۵]، به منظور بررسی ارتباط میان تابع تغییر شکل در نظریه حالت‌های همدوس غیرخطی و ساختار هندسی فضای فیزیکی، یک نوسانگر دو بعدی روی سطح کره‌ای با شعاع  $R$  و خمیدگی<sup>۷</sup>  $\lambda = \frac{1}{R^2}$  در نظر گرفته شده و با مقایسه جبر یک نوسانگر دو بعدی روی سطح تخت با جبر نوسانگر تغییر شکل یافته (۲) نشان داده شده است که نوسانگر دو بعدی مذبور را می‌توان به عنوان نوسانگر هماهنگ یک بعدی تغییر شکل یافته‌ای با تابع تغییر شکل:

$$f_s(n) = \sqrt{(N+1-n)} g(\lambda, n),$$

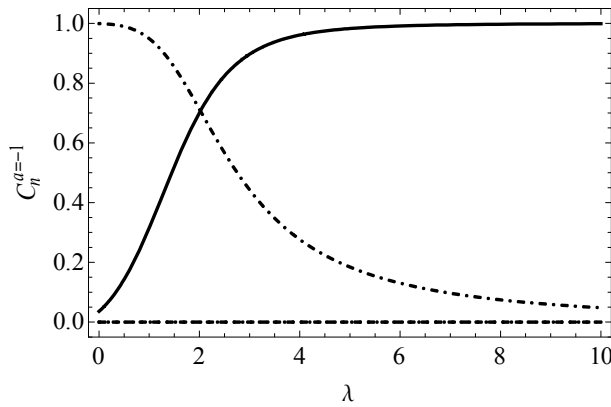
$$g(\lambda, n) = \sqrt{\left( \lambda(N+1-n) + \sqrt{1+\lambda^2/4} \right)} \times \sqrt{\left( \lambda n + \sqrt{1+\lambda^2/4} \right)}, \quad (3)$$

<sup>۴</sup>. Schrodinger cat

<sup>۱</sup>. f-deformed

<sup>۲</sup>. Weyl - Heisenberg

<sup>۳</sup>. Curvature



شکل ۲. ضرایب بسط برای برهم‌نگی حالت‌های همدوس روی سطح کره بر حسب  $\lambda$  برای  $a = -1$  و  $N = 3$  و  $z = 0.25$  با  $C_1$ ، منحنی خط‌چین ضریب،  $C_2$ ، منحنی نقطه-خط‌چین ضریب،  $C_3$ ، منحنی نقطه‌چین ضریب و  $C_4$  منحنی خطی ضریب.

برای بررسی اثر انحنای فضا بر ضرایب برهم‌نگی شده  $C_n^a$ ، در شکل‌های ۱ تا ۳ ضرایب  $C_n^a$  را بر حسب  $\lambda$  برای  $z = 0.25$  و  $N = 3$  به ترتیب برای  $a = 1$ ،  $a = -1$  و  $a = 0$  رسم کرده‌ایم. همان‌گونه که مشاهده می‌شود برای گریه زوج، تنها ضرایب زوج و برای گریه فرد نیز تنها ضرایب فرد وجود دارند. برای وضوح بیشتر، حالت‌های حدی را بررسی می‌کنیم. برای کره‌های با شعاع بسیار کوچک،  $\lambda \rightarrow \infty$ ، در مورد  $a = 0$  داریم

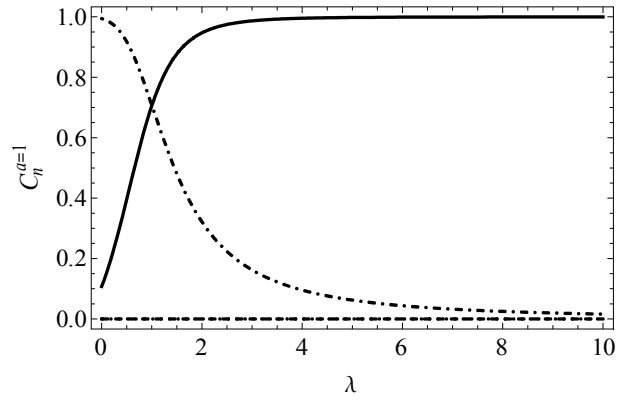
$$C_n^0 \rightarrow \delta_{n,N}.$$

برای  $a = 1$  و  $a = -1$  نیز ضرایب برهم‌نگی شده  $C_n^a$ ، بسته به اینکه  $C_N^a$  یا  $C_{N-1}^a$  غیر صفر باشند، به  $\delta_{n,N}$  یا به  $\delta_{n,N-1}$  میل پیدا می‌کنند. بنابراین، در این حالت حدی داریم:

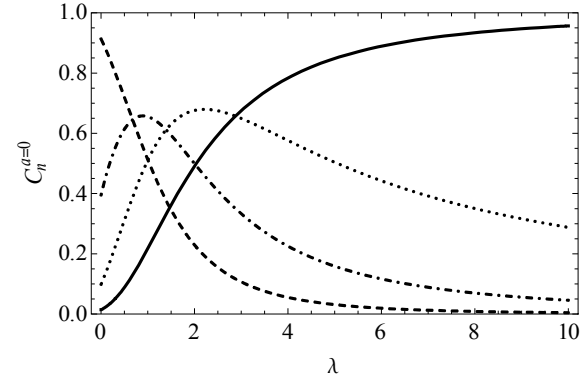
$$\begin{aligned} |\phi\rangle_a = 0 &\rightarrow |N\rangle, \\ |\phi\rangle_a = \pm 1 &\rightarrow |N\rangle \quad \text{یا} \quad |N-1\rangle \end{aligned} \quad (10)$$

در بخش بعدی به بررسی ویژگی‌های اپتیک کوانتمومی حالت‌های برهم‌نگی شده و مقایسه آنها با حالت‌های همدوس غیرخطی روی سطح کره می‌پردازیم.

به منظور بررسی ویژگی‌های اپتیک کوانتمومی، در این بخش شمار میانگین، پارامتر



شکل ۱. ضرایب بسط برای برهم‌نگی حالت‌های همدوس روی سطح کره بر حسب  $\lambda$  برای  $a = 1$  و  $N = 3$  و  $z = 0.25$  با  $C_1$ ، منحنی نقطه-خط‌چین ضریب،  $C_2$ ، منحنی خط‌چین ضریب،  $C_3$ ، منحنی خطی ضریب و  $C_4$  منحنی نقطه‌چین ضریب.



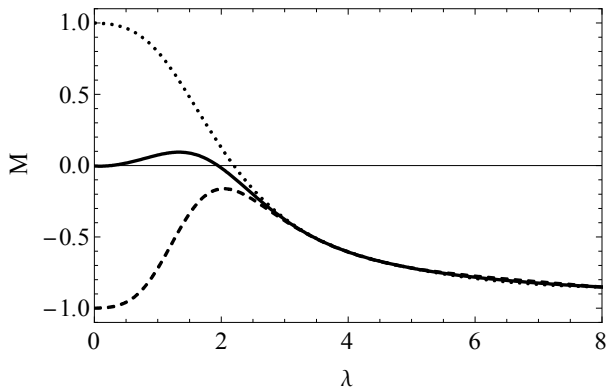
شکل ۳. ضرایب بسط برای برهم‌نگی حالت‌های همدوس روی سطح کره بر حسب  $\lambda$  برای  $a = 0$  و  $N = 2$  و  $z = 0.25$  با  $C_1$ ، منحنی نقطه-خط‌چین ضریب،  $C_2$ ، منحنی خطی ضریب و  $C_3$ ، منحنی نقطه‌چین ضریب.

اولیه (۴) تبدیل می‌شود.  
با جایگذاری رابطه (۴) در رابطه (۵)، برهم‌نگی حالت‌ها به صورت زیر به دست می‌آید،

$$|\phi\rangle_a = \sum_{n=0}^N C_n^a |n\rangle, \quad (8)$$

که در اینجا

$$\begin{aligned} C_n^a &= [F(1+a^2) + 2a N]^{-\frac{1}{2}} \\ &\times \left[ \sum_{n=0}^N \sqrt{\binom{N}{n}} [g(\lambda, n)]! z^n (1+a(-1)^n) \right]. \end{aligned} \quad (9)$$



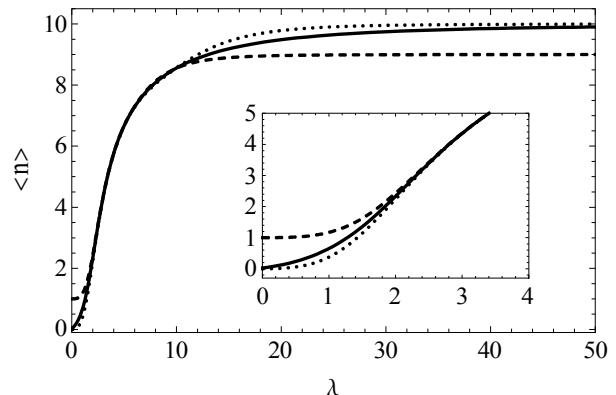
شکل ۵. پارامتر مندل  $M$  بر حسب  $\lambda$  و با  $N=10$ ،  $z=0.05$  و منحنی خط‌چین به ازای  $a=-1$ ، منحنی خطی به ازای  $a=0$  و منحنی نقطه‌چین به ازای  $a=1$ .

در شکل ۴ شمار میانگین فوتون‌ها را برای حالت‌های برهم‌نهی شده  $|\phi\rangle_a$  بر حسب  $\lambda$  با  $N=10$  و  $z=0.05$  و به ازای  $a=-1, 0, 1$  رسم کرده‌ایم. همان‌گونه که دیده می‌شود شمار میانگین فوتون‌ها، با وجود تفاوت به ازای  $\lambda$ ‌های کوچک، با افزایش  $\lambda$ ، برای حالت گربه زوج و حالت همدوس اولیه به سمت  $N$  و برای حالت گربه فرد به مقدار  $-1$  میل می‌کند. همچنین حالت برهم‌نهی زوج نسبت به حالت همدوس اولیه با سرعت بیشتری به مقدار  $N$  میل می‌کند. علاوه بر این دیده می‌شود نتایج بالا با نتایج به دست آمده از شکل‌های ۱-۳ همخوانی دارد.

برای مطالعه آمار فوتون‌های حالت‌های برهم‌نهی شده  $|\phi\rangle_a$  لازم است پارامتر مندل [۱۹] یعنی

$$M = \frac{\left( (\Delta\hat{n})^2 - \langle \hat{n} \rangle \right)}{\langle \hat{n} \rangle}, \quad (13)$$

را مورد بررسی قرار دهیم. مقادیر مثبت، صفر و منفی پارامتر مذبور به ترتیب نشانگر آمار فراپواسونی<sup>۵</sup>، پواسونی و زیرپواسونی<sup>۶</sup> است. در شکل ۵ پارامتر مندل را برای حالت‌های برهم‌نهی شده  $|\phi\rangle_a$  بر حسب  $\lambda$  با  $N=10$ ،  $z=0.05$  و



شکل ۶. شمار میانگین فوتون‌ها  $\langle n \rangle$  بر حسب  $\lambda$  و با  $N=10$ ،  $z=0.05$  و منحنی خط‌چین به ازای  $a=-1$ ، منحنی خطی به ازای  $a=0$  و منحنی نقطه‌چین به ازای  $a=1$ . شکل میانی، بزرگ شده منحنی‌های فوق را در ناحیه بین مقادیر ۰ تا ۴ نشان می‌دهد.

مندل<sup>۱</sup>، درجه همدوسی<sup>۲</sup>، چلاندگی مؤلفه کودراتوری<sup>۳</sup> و تابع ویگنر<sup>۴</sup> را برای برهم‌نهی حالت‌های همدوس غیرخطی روی سطح کره محاسبه می‌کنیم.

احتمال یافتن  $n$  فوتون در حالت‌های برهم‌نهی شده  $|\phi\rangle_a$  به صورت زیر به دست می‌آید [۱۸].

$$P_a(n, N, z, \lambda) = \frac{B^{\frac{N}{2}} [1 + a^2 + 2a(-1)^n]}{F} \binom{N}{n} \times \{[g(\lambda, n)!]\}^{\frac{N}{2}} (|z|^2)^n. \quad (11)$$

$$\begin{aligned} \text{همچنین شمار میانگین فوتون‌ها در این حالت برابر است با،} \\ \langle \hat{n} \rangle_a &= \langle \phi | \hat{a}^\dagger \hat{a} | \phi \rangle_a \\ &= \sum_{n=0}^N n P_a(n, N, z, \lambda) \\ &= \frac{B^{\frac{N}{2}} [1 + a^2 + 2a(-1)^n]}{F} \\ &\times \sum_{n=0}^N \binom{N}{n} \{[g(\lambda, n)!]\}^{\frac{N}{2}} n |z|^n. \end{aligned} \quad (12)$$

۱. Mandel parameter

۲. Degree of coherence

۳. Quadrature squeezing

۴. Wigner function

۵. Super-Poissonian

۶. Sub-Poissonian

به منظور بررسی خواص غیرکلاسیکی حالت‌های برهم‌نهی شده

$$\langle \phi \rangle_a^0, \text{ درجه همدوسى مرتبه دوم } [18],$$

$$g^2(0) = 1 + \frac{\langle (\Delta \hat{n})^2 \rangle - \langle \hat{n} \rangle^2}{\langle \hat{n} \rangle^2}, \quad (14)$$

را محاسبه می‌کنیم. مقادیر  $g^2(0) \leq 1$  هم ارز با تابع توزیع

$P$  منفی بوده و بنابراین حالت غیرکلاسیک و  $g^2(0) \geq 1$  حالت کلاسیک را نشان می‌دهند [14]. در شکل ۶ نمودار

$g^2$  را برای حالت‌های برهم‌نهی شده  $\langle \phi \rangle_a^0$  بر حسب  $\lambda$  با  $a=0, 1, -1$  و  $N=10, z=0.05$  رسم کرده‌ایم.

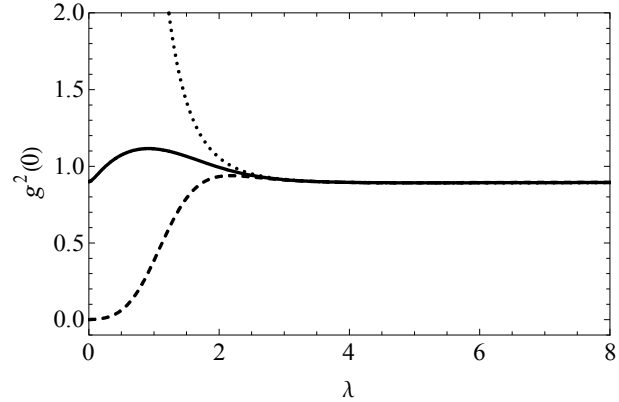
همان طور که از نمودارهای  $g^2$  مشاهده می‌شود، به ازای  $\lambda$ ‌های کوچک، برهم‌نهی فرد کاملاً غیرکلاسیک و برهم‌نهی زوج کاملاً کلاسیک است. به ازای  $a=0$  نیز، حالت همدوس اولیه در مواردی کلاسیک و در جاهایی نیز غیرکلاسیک است. برای درجه همدوسى نیز، همانند پارامتر مندل، برای  $\lambda$ ‌های بزرگ، هر سه حالت گربه زوج، گربه فرد و حالت اولیه به یک اندازه غیرکلاسیک می‌شوند.

این نتایج را به سادگی می‌توان از ارتباط پارامتر مندل (13) و

درجه همدوسى مرتبه دوم (14)، یعنی  $M = 1 + \frac{M}{\langle \hat{n} \rangle}$ ، و

مقایسه شکل‌های ۵ و ۶ نیز به دست آورد. از آنجایی که همواره  $\langle \hat{n} \rangle$  است لذا انتظار داریم که اگر  $M > 1$  باشد پس  $g^2 < 1$  شود و اگر  $M < 1$  باشد آنگاه  $g^2 > 1$  شود. به عبارت دیگر، اگر حالت ما مطابق پارامتر مندل غیرکلاسیک (زیر پواسونی) باشد، دارای تابع توزیع  $P$  منفی ( $\langle \hat{n} \rangle < 1$ ) و در صورت کلاسیکی بودن (پواسونی بودن) حالت با توجه به پارامتر مندل، درجه همدوسى مرتبه دوم آن نیز نشانگر تابع توزیع  $P$  مثبت ( $\langle \hat{n} \rangle > 1$ ) است. علاوه بر این، در مواردی که پارامتر مندل صفر باشد،  $g^2(0) = 1$  به دست آمده است.

تابع توزیع شباهتمال جهت مطالعه ویژگی‌های کوانتومی



شکل ۶. نمودار درجه همدوسى  $(0)g^2$  بر حسب  $\lambda$  و با  $z=0.05$  و  $N=10$ . منحنی خط‌چین به ازای  $a=-1$ ، منحنی خطی به ازای  $a=0$  و منحنی نقطه‌چین به ازای  $a=1$ .

به ازای  $a=0, 1, -1$  رسم کرده‌ایم. همان‌گونه که از شکل مشخص است با گذار از حالت گربه زوج به گربه فرد، سرشت زیرپواسونی آمار شمارش فوتون‌ها تقویت می‌شود. به عبارت دیگر، تا آنجا که به آمار شمارش فوتون‌ها مربوط می‌شود، ویژگی‌های غیرکلاسیک حالت گربه فرد نسبت به گربه زوج تقویت می‌شود. نکته جالب توجه در نمودارها این است که برای  $\lambda$ ‌های بزرگ، آمار شمارش فوتون‌ها در هر سه حالت گربه زوج، گربه فرد و حالت اولیه دارای سرشت زیرپواسونی یکسانی شده و رفتار غیرکلاسیکی مشابهی از خود نشان می‌دهند. به عبارت دیگر، برای فضاهای با خمیدگی زیاد، اثر انحنای فضای فیزیکی بر تأثیر برهم‌نهی حالت‌ها غلبه کرده و منجر به خاصیت غیرکلاسیکی یکسان می‌شود. این نتیجه با توجه به اینکه پارامتر مندل نشانگر افت و خیزهای تعداد کوانتموں‌های برانگیختگی نوسانگر است با نتیجه به دست آمده از نمودارهای ۱ تا ۳ همخوانی دارد به عبارت دیگر مشاهده می‌شود که برای فضاهای با خمیدگی زیاد برهم‌نهی حالت‌های همدوس غیرخطی روی سطح کرده به حالت عددی  $\langle N \rangle$  یا  $\langle -N \rangle$  می‌کنند که برای آنها  $\Delta n = 0$  است. در نتیجه انتظار داریم پارامتر مندل برای هر سه حالت برهم‌نهی شده در حد انحنای‌های بزرگ به ۱-میل کند.

$$W(x, p) = \int dk e^{-k^2} H_m(x + ip - k) H_n(x - ip + k) \\ \times \frac{\gamma e^{-(x^2 + p^2)}}{[F(\gamma + a^2) + 2aN_0]\sqrt{\pi}} \\ \times \sum_{n,m=0}^N \frac{\sqrt{\binom{N}{n}\binom{N}{m}} g[\lambda, n]! g[\lambda, m]! z^{*m} [\gamma + a(-\gamma)^m] z^n [\gamma + a(-\gamma)^n]}{\sqrt{m!n!} \times 2^{\frac{n-m}{2}}} \quad (19)$$

سپس با استفاده از بسط کلی زیر برای چندجمله‌ای‌های هرمیت [۲۱]

$$H_n(y+x) = \sum_{k=0}^n \binom{n}{k} H_{n-k}(y)(\gamma x)^k, \quad (20)$$

انتگرال باقی‌مانده در رابطه (۱۹) به صورت زیر بیان می‌شود،

$$\int dk e^{-k^2} H_m(x + ip - k) H_n(x - ip + k) \\ = \gamma \sum_{t,r}^{m,n} \binom{n}{r} \binom{m}{t} [\gamma(x + ip)]^t \\ \times [\gamma(x - ip)]^r (-\gamma)^{m-t} \int dk e^{-k^2} H_{n-r}(k) H_{m-t}(k). \quad (21)$$

که با استفاده از رابطه تعامد چندجمله‌ای‌های هرمیتی [۲۱]

$$\int dk e^{-k^2} H_{n-r}(k) H_{m-t}(k) \\ = \sqrt{\pi} \times 2^{n-r} (n-r)! \times \delta_{n-r, m-t}, \quad (22)$$

و بسط چندجمله‌ای‌های تعتمیم یافته لagger

$$L_n^\alpha(x) = \sum_{k=0}^n (-\gamma)^k \binom{n+\alpha}{n-k} \frac{x^k}{k!} \quad (22)$$

برهم‌نهی حالت‌های همدوس به صورت زیر به دست می‌آید،

$$W(x, p) = \frac{\gamma e^{-(x^2 + p^2)}}{[F(\gamma + a^2) + 2aN_0]\sqrt{\pi}} \\ \times \sum_{n,m=0}^N z^n z^m (\gamma + a(-\gamma)^m) (\gamma + a(-\gamma)^n) \\ \times \sqrt{\binom{N}{n}\binom{N}{m}\frac{n!}{m!}} [x + ip]^{m-n} \quad (23)$$

$$\times g[\lambda, n]! g[\lambda, m]! \gamma^{\frac{m-n}{2}} L_n^{m-n} [\gamma x^2 + p^2].$$

در شکل‌های ۷ تا ۹ تابع ویگنر حالت‌های برهم‌نهی شده  $|\phi\rangle_a$  بر حسب  $x$  و  $p$  با  $z = 0.5$  و  $\gamma = 3$  و  $N = 5$  و به ترتیب برای

بسیار مهم هستند. این توابع به سه دسته تقسیم می‌شوند، تابع شبه احتمالی  $P$ ، تابع شبه احتمالی  $Q$  و تابع ویگنر  $W$ . [۱۸] یکی از روش‌های بررسی ویژگی‌های غیرکلاسیکی حالت‌ها استفاده از تابع توزیع ویگنر است. وجود جملات تداخلی در تابع ویگنر یا منفی شدن این تابع در بعضی از مناطق، نشان دهنده غیرکلاسیکی بودن حالت‌ها در آن مناطق است. تابع توزیع ویگنر با استفاده از تابع موج حالت با رابطه زیر تعریف می‌شود [۲۰]

$$W(x, p) = \int d\xi \psi^*(x + \frac{\xi}{2}) \psi(x - \frac{\xi}{2}) e^{-ip\xi}. \quad (15)$$

برای به دست آوردن تابع ویگنر برای حالت‌های برهم‌نهی شده  $|\phi\rangle_a$ ، ابتدا تابع موج آن را به صورت زیر محاسبه کنیم

$$\psi_a(x) = \langle x | \phi \rangle_a = \frac{e^{-\frac{x^2}{2}}}{\sqrt{[F(\gamma + a^2) + 2aN_0]\gamma \pi^2}} \\ \times \sum_{n=0}^N \sqrt{\binom{N}{n}} H_n(x) g[\lambda, n]! z^n [\gamma + a(-\gamma)^n] \\ \times \frac{n}{\sqrt{n!} \times 2^{\frac{n}{2}}}. \quad (16)$$

با جایگذاری تابع موج به دست آمده در رابطه (۱۵) داریم،

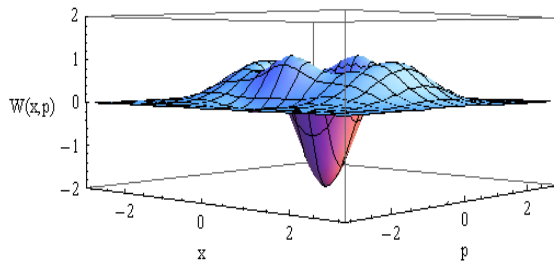
$$W(x, p) =$$

$$\frac{1}{[F(\gamma + a^2) + 2aN_0]\sqrt{\pi}} \int d\xi \left\{ e^{-\frac{1}{2}(x - \frac{\xi}{2})^2} e^{-\frac{1}{2}(x + \frac{\xi}{2})^2} e^{-ip\xi} \right. \\ \times \sum_{m=0}^N \sum_{n=0}^N \frac{\sqrt{\binom{N}{n}} H_n(x + \frac{\xi}{2}) g[\lambda, n]! z^n [\gamma + a(-\gamma)^n]}{\sqrt{n!} \times 2^{\frac{n}{2}}} \\ \times \left. \frac{\sqrt{\binom{N}{m}} H_m(x - \frac{\xi}{2}) g[\lambda, m]! z^m [\gamma + a(-\gamma)^m]}{\sqrt{m!} \times 2^{\frac{m}{2}}} \right\}. \quad (17)$$

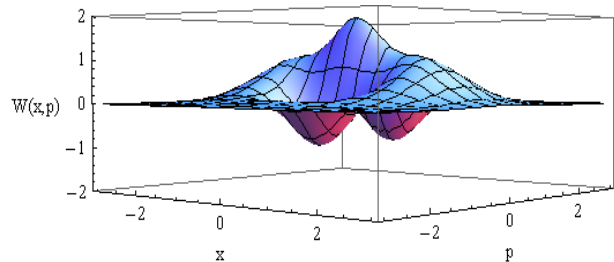
برای حل این انتگرال، تغییر متغیر

$$k = x + i \frac{\xi}{2}, \quad (18)$$

را استفاده کرده و رابطه (۱۷) را به صورت زیر بازنویسی می‌کنیم،



شکل ۹. تابع ویگنر  $\langle \phi | \phi \rangle_a$  به ازای  $a = -1$  بر حسب  $x$  و  $p$  با  $N = 3$  و  $z = 0.5$ .



شکل ۷. تابع ویگنر  $\langle \phi | \phi \rangle_a$  به ازای  $a = 1$  بر حسب  $x$  و  $p$  با  $z = 0.5$  و  $N = 3$ .

با استفاده از رابطه جابه‌جایی میان  $\hat{a}$  و  $\hat{a}^\dagger$  به رابطه عدم قطعیت زیر می‌رسیم

$$(\Delta x_{1a})^2 (\Delta x_{2a})^2 \geq \frac{1}{16} \left| \left[ \hat{x}_{1a}, \hat{x}_{2a} \right] \right|^2 = \frac{1}{16}. \quad (25)$$

اکنون بنا به تعریف اگر برای حالت میدان داشته باشیم

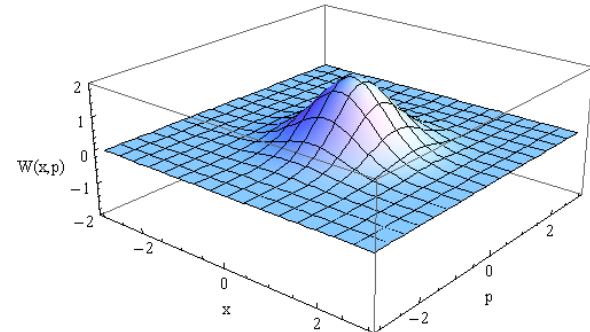
$$(\Delta x_{ia})^2 < \frac{1}{4}, \quad (i = 1 \text{ or } 2), \quad (26)$$

یا به طور هم ارز

$$S_{ia} \equiv 4(\Delta x_{ia})^2 - 1 < 0, \quad (27)$$

آن‌گاه حالت مذبور یک حالت چلاندنه است. بنابراین، برای حالت چلاندنه افت و خیزهای کوانتومی یکی از مولفه‌های کوادراتوری میدان نسبت به مقدار مربوط به حالت با کمینه حاصل ضرب نامعینی‌ها کاهش می‌یابد. این به بهای افزایش افت و خیزهای کوانتومی مولفه کوادراتوری دیگر میدان خواهد بود به طوری که اصل عدم قطعیت همچنان پابرجا است. حالت‌های چلاندنه میدان فاقد همتای کلاسیکی هستند و از این‌رو، آنها را حالت‌های غیرکلاسیکی می‌نامند.

در شکل‌های ۱۰ و ۱۱ به ترتیب  $S_{1a}$  و  $S_{2a}$  را برای حالت‌های  $\langle \phi | \phi \rangle_a$  بر حسب  $\varphi$  با  $z = 0.5$ ،  $N = 10$  به ازای  $a = -1$  رسم کردیم. در مقایسه بین نمودارهای هر شکل مشاهده می‌شود که حالت گربه زوج،  $a = 1$ ، نسبت به حالت اولیه، علاوه بر یک تغییر فاز  $\pi$ ، چلاندگی مولفه‌های کوادراتوری آن افزایش یافته است. در مورد گربه فرد،  $a = -1$ ، نیز چلاندگی اصلاً وجود ندارد. همچنین، در مقایسه بین نمودارهای  $S_{1a}$  و  $S_{2a}$  اختلاف فاز  $\pi$  مشاهده می‌شود.

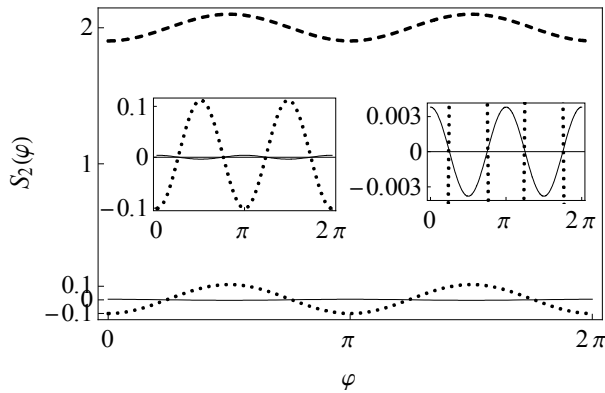


شکل ۸. تابع ویگنر  $\langle \phi | \phi \rangle_a$  به ازای  $a = 0$  بر حسب  $x$  و  $p$  با  $z = 0.5$  و  $N = 3$ .

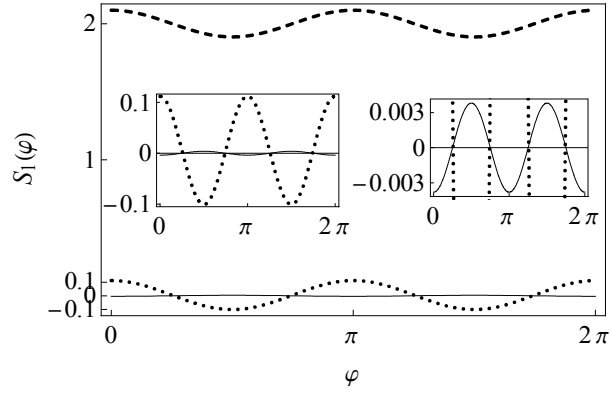
،  $a = -1$  رسم شده است. همان‌طور که مشاهده می‌شود با برهم‌نهی حالت‌ها در نمودارها جملات تداخلی به وجود آمده است و همچنین در مناطقی منفی شده است که این ویژگی‌ها برای حالت اولیه مشاهده نمی‌شود، پس با برهم‌نهی حالت‌ها، خواص غیر کلاسیکی آنها افزایش می‌یابد. همچنین مشاهده می‌شود که گربه فرد نسبت به گربه زوج غیرکلاسیک‌تر است.

در این بخش به بررسی نویشهای کوانتومی مولفه‌های کوادراتوری میدان نسبت به حالت‌های همدوسر استاندارد می‌پردازیم. برای این منظور، عملگرهای کوادراتوری  $\hat{x}_{1a}$  و  $\hat{x}_{2a}$  را در نظر می‌گیریم که به صورت زیر بر حسب عملگرهای تغییر شکل نیافتانه  $\hat{a}$  و  $\hat{a}^\dagger$  تعریف می‌شوند [۱۸]

$$\begin{aligned} \hat{x}_{1a} &= \frac{1}{2} \left( \hat{a} e^{i\varphi} + \hat{a}^\dagger e^{-i\varphi} \right), \\ \hat{x}_{2a} &= \frac{1}{2i} \left( \hat{a} e^{i\varphi} - \hat{a}^\dagger e^{-i\varphi} \right). \end{aligned} \quad (24)$$



شکل ۱۱. نمودار چلاندگی  $S_{2a}$  بر حسب فاز  $\varphi$  و با  $z=0^{+}05$  و  $a=-1$ . منحنی خط‌چین به ازای  $N=10$ . منحنی خط‌چین به ازای  $a=-1$ ، منحنی خطی به ازای  $a=0$  و منحنی نقطه‌چین به ازای  $a=1$  است. شکلهای میانی، بزرگ شده منحنی‌های فوق را به ترتیب در ناحیه بین مقادیر  $0^{+}1$  تا  $-0^{+}1$  و  $0^{+}03$  تا  $-0^{+}03$  نشان می‌دهند.



شکل ۱۰. نمودار چلاندگی  $S_{1a}$  بر حسب فاز  $\varphi$  و با  $z=0^{+}05$  و  $N=10$ . منحنی خط‌چین به ازای  $a=-1$ ، منحنی خطی به ازای  $a=0$  و منحنی نقطه‌چین به ازای  $a=1$  است. شکلهای میانی، بزرگ شده منحنی‌های فوق را به ترتیب در ناحیه بین مقادیر  $0^{+}1$  تا  $-0^{+}1$  و  $0^{+}03$  تا  $-0^{+}03$  نشان می‌دهند.

حالات داخلي و خارجي یون توسط برهم‌کنش با پرتوهای لیزری در هم‌تئيده<sup>۳</sup> می‌شوند. سپس نشان می‌دهيم در صورتی که حالت اولیه حرکت ارتعاشی یون در یک حالت همدوس غیرخطی روی سطح کره باشد، با اندازگیری روی حالت داخلي سامانه، برهم‌نهی حالت‌های همدوس مورد نظر به دست می‌آيد. یک یون دو ترازی درون یک دام دو بعدی با بسامدهای ارتعاشی  $x$  و  $y$  در راستاهای  $x$  و  $y$  در نظر می‌گيریم. فرض می‌کنیم که دو باریکه لیزری در راستاهای  $x$  و  $y$  به یون تابیده شود که با بسامد گذار یون در حالت بازآوابی باشد. در این صورت، هاميلتوني سامانه مزبور به صورت زیر خواهد بود [۲۴، ۱۶]

$$H = v_x \hat{a}^\dagger \hat{a} + v_y \hat{b}^\dagger \hat{b} + \omega_z S_z + [Y E^-(x, y, t) S^- + H.c.] \quad (28)$$

در اين هاميلتوني، عملگرهای  $\hat{a}^\dagger$  و  $\hat{a}$  و  $\hat{b}^\dagger$  و  $\hat{b}$  عملگرهای خلق و فناي حرکت ارتعاشی یون در راستاي  $x$  (y) بوده و  $S_z^\pm$  عملگرهای بالا برنده و پايان آورنده الکتروني یون<sup>۴</sup> و از ماترييس‌های پائولی است. پaramتر  $Y$  بيانگر تصوير عنصر

روش‌های نظری بسياري برای تولید فيزيکی<sup>۱</sup> حالت‌های دلخواه در اپتيك كوانتمي وجود دارد [۲۳، ۱۶]. از جمله سامانه‌های پيشنهادي برای فراهم‌سازی يك حالت كوانتمي، سامانه یون به دام افتاده است. پيشرفت‌های زيادي که اخيرا در زمينه به دام اندازی و سرديسازی توسط لیزر به دست آمده است، سبب به وجود آمدن چشم‌اندازهای جدیدی در اين موضوع گردیده است. هنگامی که ميدان‌های لیزری به یک یون به دام افتاده بتايد، یون با ميدان برهم‌کنش کرده و بنابراین درجات آزادی داخلي و خارجي یون با همديگر جفت می‌شوند. بنابراین، يك جفت‌شده‌گي ضعيف ميان مدهای ارتعاشی یون و محيط خارجي سبب افزایش احتمال تولید و مشاهده حالت‌های غيرکلاسيکي کاملا پايدار می‌شود [۱۶].

در اين بخش با استفاده از سامانه یون در یک دام دو بعدی ناهمگن<sup>۲</sup>، طرحواره‌اي نظری برای تولید فيزيکی يك برهم‌نهی کلى از حالت‌های همدوس غیرخطی بر سطح کره ارائه می‌کنیم. در اين روش که در مرجع [۲۴] برای تولید برهم‌نهی حالت‌های همدوس معمولی نيز استفاده شده است، در ابتدا

<sup>۳</sup>. Entangled

<sup>۴</sup>. Electronic flip operators

۱. Physical generation

۲. Two-dimensional anisotropic trap

تاریک حرکت ارتعاشی یون به دام افتاده معرفی شده است. نشان داده شده است که با تغییر بسامد رابی لیزرهای تابیده شده می‌توان حالت‌های همدوس بر روی کره‌های با خمیدگی‌های مختلف را تولید کرد. بنابراین، فرض می‌کنیم حالت داخلی اولیه یون در حالت پایه و حالت اولیه ارتعاشی یون  $\Psi_v(0)$  در حالت همدوس غیرخطی روی سطح کره فراهم سازی شده باشد

$$|\Psi_v(0)\rangle = |z\rangle_s = \sum_{n=0}^N C_n(\lambda) |n\rangle, \quad (32)$$

که در آن داریم

$$C_n(\lambda) = F^{-\frac{1}{2}} \sum_{n=0}^N \sqrt{\binom{N}{n}} [g(\lambda, n)]! z^n |n\rangle. \quad (33)$$

در ابتدا فرض می‌کنیم که لیزر فقط در راستای  $y$  تابیده  $(\Omega_x = 0)$  و سبب برانگیخته شدن یون شود، در این صورت هامیلتونی  $(30)$  به صورت زیر تبدیل خواهد شد،

$$H_y = \Omega_y e^{-i\phi_y} S^+ + H.c.. \quad (34)$$

پس از گذشت زمان  $t$ ، این برهم‌کنش سبب انتقال یون از حالت پایه به حالت زیر می‌شود،

$$|g\rangle \rightarrow p|g\rangle + q|e\rangle, \quad (35)$$

که در آن  $p$  و  $q$  پارامترهای مختلفی به صورت زیر بوده که توسط دامنه و فاز میدان کلاسیکی قابل تنظیم هستند

$$p = \cos(t\Omega_y), \quad q = ie^{-i\phi_y} \sin(t\Omega_y). \quad (36)$$

در ادامه اگر یون با میدان در راستاهای  $y$  و  $x$  همزمان بر  $\phi_x = \pi$ ،  $\Omega_x = \Omega_y = \Omega$  و  $\phi_y = 0$  باشد، بنابراین هامیلتونی  $(31)$  به شکل زیر به دست می‌آید

$$H_{\text{int}} = g \hat{a}^\dagger \hat{a} S^+ + H.c., \quad (37)$$

که در آن  $g = \Omega(\eta_x)^2$  است. در اثر این برهم‌کنش، حالت سامانه در زمان  $t$  به صورت زیر به دست خواهد آمد

$$|\Psi_v(t)\rangle = \sum_{n=0}^N C_n(\lambda) \{ [p \cos(ngt) - i q \sin(ngt)] |g\rangle + [q \cos(ngt) - i p \sin(ngt)] |e\rangle \} |n\rangle. \quad (38)$$

ماتریسی عملگر بردار گشتاور دو قطبی یون در جهت بردار دامنه میدان الکترونیکی لیزر بوده و  $\omega$  بسامد گذار است.

$E^-(x, y, t)$  نیز بخش بسامد منفی میدان کلاسیکی تابشی بوده که به صورت زیر تعریف می‌شود،

$$E^-(x, y, t) = E_x e^{i(\omega_0 t - k_x x + \phi_x)} + E_y e^{i(\omega_0 t - k_y y + \phi_y)}, \quad (29)$$

که در آن  $\phi_j$  و  $E_j$  ( $j = x, y$ ) به ترتیب، فاز و دامنه میدان لیزری تابشی و  $k_j$  بردار موج میدان است.

در رژیم جانبی تفکیک شده<sup>۱</sup> هامیلتونی برهم‌کنشی لیزر-یون توسط مدل جینز-کامینگر<sup>۲</sup> غیرخطی توصیف می‌شود [۱۶]. هامیلتونی مزبور در تصویر برهم‌کنش به صورت زیر به دست می‌آید [۲۴، ۲۵]،

$$H_{\text{int}} = \sum_{k=0}^{\infty} [\Omega_x e^{-i\phi_x} e^{-\frac{-\eta_x^2}{2}} \frac{(i\eta_x)^{2k}}{(k!)^2} \hat{a}^{\dagger k} \hat{a}^k + \Omega_y e^{-i\phi_y} e^{-\frac{-\eta_y^2}{2}} \frac{(i\eta_y)^{2k}}{(k!)^2} \hat{b}^{\dagger k} \hat{b}^k] S^+ + H.c., \quad (30)$$

که در آن  $\Omega_j = \gamma E_j$  بسامدهای رابی و  $\eta_j = \sqrt{\frac{k^2}{4M\nu_j}}$  پارامترهای لمب-دیک بوده که  $M$  نیز جرم یون است.

در ادامه فرض می‌کنیم که در مورد دام دو بعدی شرط  $v_x << v_y$  برقرار باشد، به عبارت دیگر، دام به شدت غیرهمگن باشد. بنابراین، در رژیم لمب-دیک  $\eta_x << \eta_y$ ، با بسط  $\eta_x$  تا مرتبه دوم و  $\eta_y$  تا مرتبه صفرم در رابطه  $(30)$ ، هامیلتونی برهم‌کنش یون و لیزر  $(30)$  به صورت زیر به دست می‌آید،

$$H_{\text{int}} = [\Omega_x e^{-i j_x} (\Omega_x^2 \hat{a}^\dagger \hat{a}) + \Omega_y e^{-ijy} S^+] + H.c.. \quad (31)$$

در مرجع [۲۳] طرحواره‌ای فیزیکی برای تولید حالت‌های همدوس غیرخطی روی سطح کره، رابطه  $(4)$ ، توسط حالت‌های

۱. Resolved sideband limit

۲. Jaynes-Cummings

با تعریف برهم‌نهی حالت‌های همدوس غیرخطی روی سطح کره، خواص غیرکلاسیکی حالت‌های مزبور بررسی شد. با مطالعه درجه همدوسی، پارامتر مندل و تابع ویگنر نشان داده شد که در فضاهای با خمیدگی کوچک، برهم‌نهی فرد باعث افزایش خواص غیرکلاسیکی نسبت به حالت همدوس اولیه می‌شود، در حالی که در برهم‌نهی زوج، خاصیت غیرکلاسیکی کاملاً حذف می‌گردد. همچنین در بررسی کلی‌تر که برای پارامتر مندل و درجه همدوسی داشتیم، مشاهده کردیم که برای فضاهای با خمیدگی زیاد، اثر انحنای فضای فیزیکی بر تأثیر برهم‌نهی حالت‌ها غلبه کرده و منجر به خاصیت غیرکلاسیکی یکسان برای همه حالت‌ها می‌شود. در مورد مولفه‌های کوادراتوری نیز مشاهده گردید که برهم‌نهی زوج باعث افزایش چلاندگی نسبت به حالت همدوس اولیه گردیده و برهم‌نهی فرد از خود چلاندگی نشان نمی‌دهد. سپس با استفاده از برهم‌کنش لیزر دو مدلی در دو راستا با یون به دام افتاده، طرحواره‌ای نظری برای تولید فیزیکی یک برهم‌نهی کلی از حالت‌های همدوس روی سطح کره ارائه شد.

13. S L Braunstein and H J Kimble, *Phys. Rev. A* **61** (2000) 042302.
14. C H Bennett, G Brassard, and N D Mermin, *Phys. Rev. Lett.* **68** (1992) 557.
15. O Abbasi and M K Tavassoly, *Opt. Commun.* **283** (2010) 2566.
16. W Vogel and D G Welsch, "Quantum optics", Wiley-VCH Verlag (2006).
17. L M Kuang, F B Wang, and Y G Zhou, *Phys. Lett. A* **183** (1993) 1.
18. M O Scully and M S Zubairy, "Quantum optics", Cambridge University Press, Cambridge (1997).
19. L Mandel and E Wolf, "Optical Coherence and Quantum Optics", Cambridge University Press, Cambridge (1995).
20. W P Schleich, "Quantum Optics in Phase Space", Wiley-VCH Verlag, Berlin (2001).
21. Y Brychkov, "Special Function", Computing Center of the Russian, Moscow (2008).
22. S Roman, "The Laguerre Polynomials", Academic Press, New York (1984).
23. A Mahdifar, W Vogel, Th Richter, R Roknizadeh, and M H Naderi, *Phys. Rev. A* **78** (2008) 63814.
24. S B Zheng and G-C Guo, *Eur. Phys. J. D* **1** (1998) 105.

حال اگر یک اندازه‌گیری روی یون انجام داده و آن را در حالت برانگیخته  $\langle e |$  آشکار کنیم، سامانه در حالت زیر قرار خواهد گرفت،

$$\left| \Psi_v(t) \right\rangle = C \sum_{n=0}^N C_n(\lambda) [q \cos(ngt) - ip \sin(ngt)] \left| n \right\rangle, \quad (39)$$

که در آن  $C$  ضریب بهنجارش است. در نهایت با توجه به معادله (۳۳) و جایگذاری آن در معادله بالا، برهم‌نهی کلی حالت‌های همدوس غیرخطی بر سطح کره به صورت زیر به دست می‌آید.

$$\left| \Psi_v(t) \right\rangle = \frac{C}{2} \left[ A \left| ze^{igt} \right\rangle_s + B \left| ze^{-igt} \right\rangle_s \right]. \quad (40)$$

که در آن داریم

$$\begin{aligned} A &= q - p, \\ B &= q + p. \end{aligned} \quad (41)$$

در این صورت، اگر حالت ارتعاشی اولیه یون در یک حالت همدوس روی سطح کره آماده سازی شده باشد، با انتخاب مناسب  $p$  و  $q$  می‌توان هر برهم‌نهی دلخواه از حالت‌های همدوس روی سطح کره را در زمان  $t > 0$  تولید کرد.

1. E Shrodinger, *Die Naturwissenschaften* **14** (1926) 664.
2. F T Arecchi, E Courtens, R Gilmore, and H Thomas, *Phys. Rev. A* **6** (1972) 2211.
3. G S Agarwal, *Opt. Commun.* **42** (1982) 205.
4. A M Perelomov, "Generalized Coherent States and Their Applications", Springer, Berlin (1986).
۵. ع مهدی‌فر، "ساختار هندسی حالت‌های همدوس غیرخطی"، پایان‌نامه دکتری، دانشکده علوم، دانشگاه اصفهان، (۱۳۸۶).
6. R Roknizadeh and M K Tavassoly, *J. Phys. A: Math. Gen.* **37** (2004) 8111.
7. M Bagheri Harouni, R Roknizadeh, and M H Naderi, *J. Phys. A: Math. Gen.* **42** (2009) 045403.
8. A Mahdifar, R Roknizadeh, and M H Naderi, *J. Phys. A: Math. Gen.* **39** (2006) 7003.
9. J Recamier, O Castanos, R Jauregui, and A Frank, *Phys. Rev. A* **61** (2000) 63808.
10. M A Ahmad and S T Liu, *Optik* **120** (2009) 68.
11. M S Kim, W Son, V Buzek, and P L Knight, *Phys. Rev. A* **65** (2002) 032323.
12. S L Braunstein, G M D Ariano, G J Millburn, and M F Sacchi, *Phys. Rev. Lett.* **84** (2000) 3486.